

Ю.П. Самарин, А.Н. Филин, В.Г. Рахчеев, Д.А. Лапенков

## МАТЕМАТИЧЕСКАЯ МОДЕЛЬ ВЛИЯНИЯ НЕПЛОСКОСТНОСТИ ТОРЦА КОЛЕЦ КОНИЧЕСКИХ ПОДШИПНИКОВ НА ФОРМИРОВАНИЕ ДОРОЖЕК КАЧЕНИЯ ПРИ ШЛИФОВАНИИ

*Выполнен теоретический анализ влияния неплоскостности базовых торцовых поверхностей на отклонения формы дорожек качения конических подшипников при шлифовании. Полученные результаты позволяют назначать оптимальную точность базовых торцовых поверхностей в зависимости от классности подшипников и достигать ее более оптимальными методами обработки.*

В подшипниковой промышленности широко применяется метод обработки дорожек качения колец бесцентровых кругло- и внутришлифовальных станков. При этом точность формы и взаимного расположения поверхностей изделия существенно зависит от точности базирования. Влияние погрешностей центрирующей конической поверхности достаточно подробно освещено в литературе [1,2], влиянию же погрешностей торцовой базы до последнего времени не уделялось достаточного внимания.

Как правило, после операции плоского шлифования колец подшипников их торцы имеют неплоскостность, которая сказывается на точности формы и расположения шлифуемой дорожки качения. Количественно степень этого влияния зависит от схемы базирования изделия. Рассмотрим наиболее часто встречающийся на практике случай базирования кольца на вращающейся торцовой опоре.

При установке изделия с искаженной формой торца на торцовую опору ось кольца не совпадает с осью вращения шпинделя станка. Погрешность торца вызывает поворот оси вращения кольца.

Рассмотрим процесс формирования и виды погрешностей формы профиля конического кольца подшипника при шлифовании, вызванных отсутствием соосности осей заготовки кольца и шпинделя станка. Будем рассматривать два вида погрешностей формы профилей готовой детали:

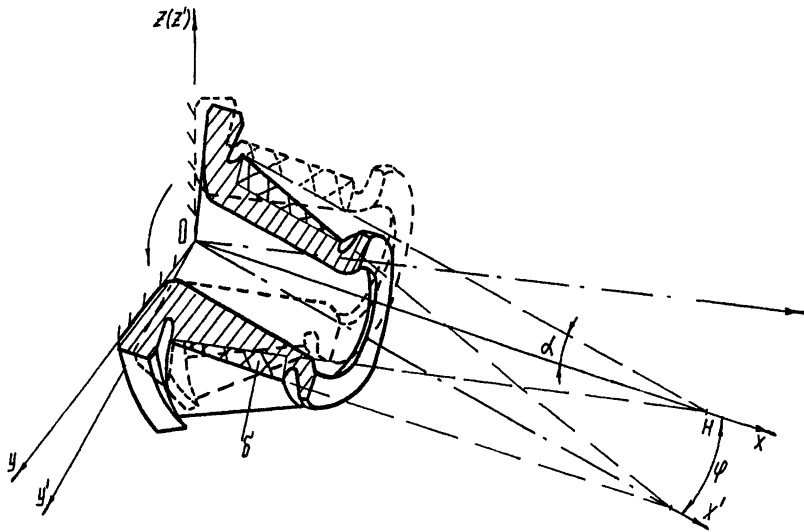
- погрешности формы профиля дорожки качения в осевом сечении;
- погрешность формы профиля дорожки качения в ее различных поперечных сечениях.

Для удобства расчета погрешностей формы конического профиля, вызванной отсутствием соосности осей заготовки и шпинделя станка, представим обрабатываемое коническое кольцо подшипника в виде конической заготовки с образующей  $Y=(H-X) \operatorname{tg}\alpha+\delta$ , где  $H$  - высота конуса полученной детали;  $\alpha$  - номинальный угол конуса детали;  $\delta$  - величина удаленного припуска. Путем снятия припуска  $\delta$  требуется получить коническую деталь с образующей  $Y=(H-X) \operatorname{tg}\alpha$ .

Для исследования влияния неплоскостности базового торца колец конических подшипников на точность формы дорожек качения рассмотрим, во-первых, случай, когда оси шпинделя станка и заготовки находятся в одной плоскости, образуют плоский угол и пересекаются в точке, расположенной на расстоянии от центра плоскости шпинделя станка. Представленный на рис. 1 случай соответствует ситуации, когда оси шпинделя станка и заготовки находятся в одной плоскости и образуют плоский угол  $\varphi$  и пересекаются в точке, расположенной в центре плоскости шпинделя.

Введем пространственные декартовы системы координат  $OXYZ$ , определяющую положение получаемой детали, и  $OX'Y'Z'$ , определяющую положение обрабатываемой заготовки, следующим образом:

- ось  $OX$  совместим с осью вращения шпинделя станка, которая одновременно и будет являться осью вращения полученной детали; ось  $OY$  направим перпендикулярно оси вращения горизонтально, а ось  $OZ$  - вертикально;
- ось  $OX'$  совместим с осью заготовки, которая повернута относительно оси  $OX$  на угол  $\varphi$  из-за погрешности торца, ось  $OY'$  расположим в плоскости  $OXY$  и направим перпендикулярно оси  $OX'$ , а ось  $OZ'$  совместим с осью  $OZ$ .



Р и с. 1. Схема к определению погрешности формы дорожки качения колец конических подшипников от погрешности базового торца

Координаты любой точки  $M(X', Y', Z')$  в системе координат  $OX'Y'Z'$  выражаются через координаты той же точки  $M(X, Y, Z)$  в исходной системе координат с помощью соотношений

$$\begin{aligned} X' &= X \cos \varphi - Y \sin \varphi; \\ Y' &= X \sin \varphi + Y \cos \varphi; \quad Z' = Z \end{aligned}$$

Коническая поверхность детали в системе координат  $OXYZ$  имеет образующую  $Y = Y_0(X) = (H - X) \operatorname{tg} \alpha$  и определяется уравнением

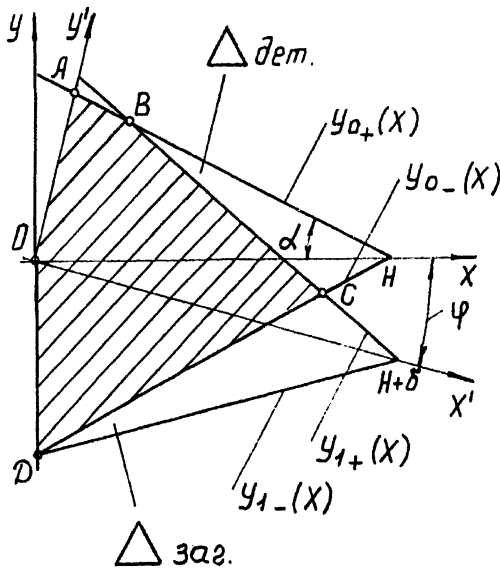
$$\begin{aligned} Y^2 + Z^2 &= Y_0^2(X) = \\ &= (H - X)^2 \operatorname{tg}^2 \alpha. \quad (1) \end{aligned}$$

Коническая поверх-

ность заготовки в системе координат  $OX'Y'Z'$  имеет образующую  $Y^1 = Y_1^1(X^1) = (H - X^1) \operatorname{tg} \alpha + \delta$  и определяется уравнением

$$Y^{12} + Z^{12} = Y_1^{12}(X^1) - [(H - X^1) \operatorname{tg} \alpha + \delta].$$

Тогда в исходной системе координат  $OXYZ$  коническая поверхность заготовки определяется уравнением  $(X \sin \varphi + Y \cos \varphi)^2 + Z^2 - [(H - (X \cos \varphi - Y \sin \varphi)) \operatorname{tg} \alpha + \delta]^2 = 0$ .



Р и с. 2. Схема расположения осей детали  $XOY$  и заготовки  $X'OY'$  в декартовых системах координат (пересечение в центре плоскости шпинделя станка)

Рассмотрим плоское сечение (рис. 2), проходящее через оси заготовки и шпинделя станка, и в нем декартову систему координат  $XOY$ . Начало системы  $O$  совпадает с точкой пересечения осей заготовки и шпинделя, ось  $OX$  совмещена с осью шпинделя, а ось  $OY$  перпендикулярна ей.

В данной плоскости сечения предполагаемой детали с номинальным профилем будет треугольник, ограниченный осью  $OY$  и двумя ее образующими прямыми, определяемыми в системе координат функциями

$$Y = Y_{0+}(X) = (H - X) \operatorname{tg} \alpha,$$

$$Y = Y_{0-}(X) = -(H - X) \operatorname{tg} \alpha.$$

Сечением заготовки будет треугольник, ограниченный осью  $OY$  и двумя ее образующими.

Для нахождения функций, определяющих указанные образующие в данной системе координат, рассмотрим в приведенной плоскости другую декартову систему координат  $X'OY'$  с началом в точке  $O$ , осью  $OX'$ , совпадающей с осью заготовки, и осью  $OY'$ , перпендикулярной ей.

пендикулярной ей.

В этом случае базисные векторы исходной системы координат  $XOY$  выражаются через базисные векторы новой системы координат  $X'OY'$  с помощью равенств

$$i = i^1 \cos \varphi + j^1 \sin \varphi, \quad j = -i^1 \sin \varphi + j^1 \cos \varphi. \quad (2)$$

Следовательно, для радиуса вектора любой точки  $M$  данной плоскости будем иметь

$$X^1 i^1 + Y^1 j^1 = OM = Xi + Yj = (X \cos \varphi - Y \sin \varphi) i + (X \sin \varphi + Y \cos \varphi) j.$$

Таким образом, координаты любой точки плоскости  $M(X', Y')$  в новой системе координат

$X'OY'$  будут выражаться через координаты точки  $M(X, Y)$  в исходной системе координат  $XOY$  с помощью равенств  $X^1 = X \cos \varphi - Y \sin \varphi$ ,  $Y^1 = X \sin \varphi + Y \cos \varphi$ .

Поэтому в новой системе координат  $X'OY'$  прямые образующей заготовки определяются функциями

$$Y^1 = Y_{1+}^1(X^1) = (H - X^1) \operatorname{tg} \alpha + \delta; \quad Y^1 = Y_{1-}^1(X^1) = -(H - X^1) \operatorname{tg} \alpha - \delta. \quad (3)$$

Тогда подставляя найденные выражения для координат  $X^1$  и  $Y^1$  в уравнения прямых образующей (3) в новой системе координат  $X'OY'$ , получим определяющие их функции в исходной системе координат  $XOY$ :

$$Y = Y_{1+}(X) = -X \operatorname{tg}(\alpha + \varphi) + \frac{\delta \cos \alpha + H \sin \alpha}{\cos(\alpha + \varphi)}; \quad Y = Y_{1-}(X) = X \operatorname{tg}(\alpha - \varphi) - \frac{\delta \cos \alpha + H \sin \alpha}{\cos(\alpha - \varphi)}.$$

Итак, сечением детали с номинальным профилем является треугольник  $\Delta_{\text{дет.}}$ , ограниченный осью  $OY$  и прямыми  $Y = Y_{0+}(X)$ ,  $Y = Y_{0-}(X)$ , а сечением заготовки является треугольник  $\Delta_{\text{заг.}}$ , ограниченный осью  $OY$  и прямыми  $Y = Y_{1+}(X)$ ;  $Y = Y_{1-}(X)$ .

Следовательно, контурами реальной детали является многоугольник  $OABCD$ , равный пересечению треугольников  $\Delta_{\text{дет.}}$  и  $\Delta_{\text{заг.}}$ , который ограничен осью, сверху ломаной линией вида

$$Y = \min \left\{ (H - X) \operatorname{tg} \alpha - X \operatorname{tg}(\alpha + \varphi) + \frac{H \sin \alpha + \delta \cos \alpha}{\cos(\alpha + \varphi)} \right\}$$

и ломаной линией снизу

$$Y = -\min \left\{ (H - X) \operatorname{tg} \alpha - X \operatorname{tg}(\alpha - \varphi) + \frac{H \sin \alpha + \delta \cos \alpha}{\cos(\alpha - \varphi)} \right\}.$$

Таким образом, погрешность формы профиля готовой детали в осевом сечении рассчитывается как большее из двух чисел:

$$\max \left\{ \left| (H - X) \operatorname{tg} \alpha + X \operatorname{tg}(\alpha + \varphi) - \frac{H \sin \alpha + \delta \cos \alpha}{\cos(\alpha - \varphi)} \right|; X \in [0, H] \right\} \text{ и}$$

$$\max \left\{ \left| (H - X) \operatorname{tg} \alpha + X \operatorname{tg}(\alpha - \varphi) - \frac{H \sin \alpha + \delta \cos \alpha}{\cos(\alpha - \varphi)} \right|; X \in [0, H] \right\}.$$

Данный теоретический анализ по исследованию влияния неплоскостности базового торца колец конических подшипников на точность формы дорожек качения в осевом сечении применим к условию, когда оси шпинделя станка и заготовки пересекаются в точке, расположенной в центре плоскости шпинделя станка. В реальных условиях обработки точка пересечения данных осей может находиться в любом месте оси вращения шпинделя станка. Исследуем влияние погрешности торца колец подшипников на точность формы дорожек качения применительно к данной ситуации.

Предположим, что ось заготовки  $O'X'$  (рис. 3) расположена в координатной плоскости  $OXY$  и пересекает ось  $OY$  в точке с координатой  $d$ .

В этом случае для описания конической поверхности заготовки рассмотрим вспомогательную пространственную декартову систему координат  $O'X'Y'Z'$  (рис. 4); начало координат  $O'$  находится на оси  $OY$  и имеет координату  $d$ , ось  $O'X'$  совпадает с осью заготовки, ось  $O'Y'$  перпендикулярна оси  $O'X'$  и расположена в координатной плоскости  $OXY$ , а ось  $O'Z'$  параллельна оси  $OZ$ .

Тогда координаты любой точки  $M(X', Y', Z')$  в новой системе координат вычисляются через координаты той же точки  $M(X, Y, Z)$  в исходной системе координат с помощью соотношений:

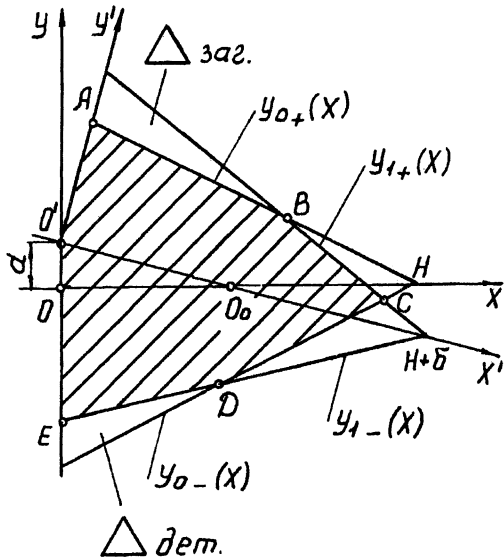
$$\begin{cases} X^1 = X \cos \varphi - Y \sin \varphi + d \sin \varphi; \\ Y^1 = X \sin \varphi + Y \cos \varphi - d \cos \varphi; \\ Z^1 = Z. \end{cases} \quad (4)$$

В новой системе координат коническая поверхность заготовки, имеющая образующую

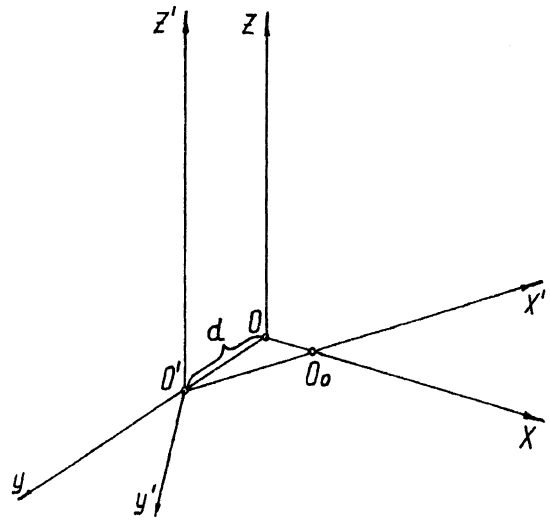
$Y^1 = Y_1^1(X^1) = (H - X^1) \operatorname{tg} \alpha + \delta$ , определяется уравнением

$$Y^{1^2} + Z^{1^2} = Y_1^{1^2}(X^1) = [(H - X^1) \operatorname{tg} \alpha + \delta]^2. \quad (5)$$

Поэтому в исходной системе координат  $OXYZ$  коническая поверхность заготовки определяется уравнением  $(\sin \varphi + Y \cos \varphi - d \cos \varphi)^2 + Z^2 = [(H - (X \cos \varphi - Y \sin \varphi + d \sin \varphi)) \operatorname{tg} \alpha + \delta]^2$ .



Р и с. 3. Схема расположения осей детали XOY и заготовки X'OY' в декартовых системах координат (пересечение на оси вращения шпинделя станка)



Р и с. 4. Схема расположения осей детали и заготовки в пространственных системах координат OXYZ и O'X'Y'Z'

Следовательно, наибольшая погрешность формы готовой детали будет иметь место в осевом сечении координатной плоскостью OXY с уравнением в ее различных осевых сечениях  $Z=0$ .

В этом случае осевым сечением заготовки является треугольник  $\Delta$ заг. (см. рис. 3), ограниченный в системе осью и прямыми  $Y_{1+}(X)$ ;  $Y_{1-}(X)$  с уравнениями

$$X \sin \varphi + Y \cos \varphi - d \cos \varphi = (H - (X \cos \varphi - Y \sin \varphi + d \sin \varphi)) \operatorname{tg} \alpha + \delta;$$

$$X \sin \varphi + Y \cos \varphi - d \cos \varphi = -(H - (X \cos \varphi - Y \sin \varphi + d \sin \varphi)) \operatorname{tg} \alpha - \delta.$$

Данные уравнения после преобразования имеют вид

$$Y_{1+}(X) = Y = -X \operatorname{tg}(\alpha + \varphi) + \frac{H \sin \alpha + \delta \cos \alpha}{\cos(\alpha + \varphi)} + d,$$

$$Y_{1-}(X) = Y = X \operatorname{tg}(\alpha - \varphi) - \frac{H \sin \alpha + \delta \cos \alpha}{\cos(\alpha - \varphi)} + d.$$

Сечением номинальной детали является треугольник  $\Delta$ дет., ограниченный осью и прямыми  $Y_{0+}(X)$  и  $Y_{0-}(X)$ , описываемыми уравнениями (2).

При этом сечением реальной детали будет многоугольник O'ABCDE, который является общей частью, пересечений треугольников  $\Delta$ дет. и  $\Delta$ заг., ограниченный осью, ломаной линией сверху вида

$$Y = \min \left\{ (H - X) \operatorname{tg} \alpha - X \operatorname{tg}(\alpha + \varphi) + \frac{H \sin \alpha + \delta \cos \alpha}{\cos(\alpha + \varphi)} + d \right\},$$

и ломаной линией снизу

$$Y = -\min \left\{ (H - X) \operatorname{tg} \alpha - X \operatorname{tg}(\alpha - \varphi) + \frac{H \sin \alpha + \delta \cos \alpha}{\cos(\alpha - \varphi)} - d \right\}.$$

Погрешность формы реального профиля готовой детали определяется совокупностью ее размерных погрешностей в различных поперечных сечениях. Рассмотрим качественную картину возникновения погрешности формы готовой детали в ее произвольном поперечном сечении и приведем расчеты количественной оценки этой погрешности формы. Так как поверхностью заготовки является коническая поверхность с осью, образующей с осью шпинделя станка угол  $\varphi$ , то контуром рассматриваемого поперечного сечения заготовки является эллипс. Таким образом, контуром поперечного профиля реальной детали будет пересечение поперечных сечений профиля номинальной детали и профиля заготовки, т. е. пересечение круга и эллипса (рис. 5).

Определим контур поперечного профиля реальной детали. Для этого рассмотрим пространственную систему координат OXYZ, приведенную на рис. 1. В данной системе координат коническая поверхность номинальной детали описана уравнением (1).

Тогда контур поперечного сечения  $X = X_0$  номинальной детали является окружностью и определяется уравнением

$$Z^2 + Y^2 = (H - X_0)^2 \operatorname{tg}^2 \alpha. \quad (6)$$

Используя уравнения (4) и (5), получим уравнение конической поверхности заготовки в системе координат OXYZ:

$$Z^2 + (X \operatorname{Sin} \varphi + Y \operatorname{Cos} \varphi + Z)^2 = [(H - X \operatorname{Cos} \varphi + Y \operatorname{Sin} \varphi - Z) \operatorname{tg} \alpha + \delta]^2.$$

Тогда контур поперечного сечения  $X = X_0$  заготовки, являющейся эллипсом, определяется уравнением

$$Z^2 + [(Y \operatorname{Cos} \varphi + Z) + (X_0 \operatorname{Sin} \varphi)]^2 = [(Y \operatorname{Sin} \varphi - Z) + (H - X_0 \operatorname{Cos} \varphi) \operatorname{tg} \alpha + \delta]^2. \quad (7)$$

Для случая, когда оси шпинделя станка и заготовки пересекаются в точке, расположенной на расстоянии  $\delta$  от центра плоскости шпинделя станка, контуром поперечного сечения заготовки в системе OYZ является эллипс с уравнением

$$Z^2 + (X_0 \operatorname{Sin} \varphi + Y \operatorname{Cos} \varphi - d \operatorname{Cos} \varphi)^2 = [(H - (X_0 \operatorname{Cos} \varphi - Y \operatorname{Sin} \varphi + d \operatorname{Sin} \varphi)) \operatorname{tg} \alpha + \delta]^2.$$

Таким образом, поперечным сечением  $X = X_0$  реальной детали является общая часть круга (6) – поперечное сечение номинальной детали и эллипса (7) – поперечное сечение заготовки, контур которой определяется уравнением

$$\begin{aligned} Z^2 + Y^2 \operatorname{Cos}^2 \varphi + Z^2 + 2YZ \operatorname{Cos} \varphi + 2YX_0 \operatorname{Cos} \varphi \operatorname{Sin} \varphi + 2ZX_0 \operatorname{Sin} \varphi + X_0^2 \operatorname{Sin}^2 \varphi = \\ Z^2 + (Y \operatorname{Cos} \varphi + Z)^2 + 2X_0 \operatorname{Sin} \varphi (Y \operatorname{Cos} \varphi + Z) + X_0^2 \operatorname{Sin}^2 \varphi = (Y \operatorname{Sin} \varphi - Z)^2 \operatorname{tg}^2 \alpha + \\ + 2(H - X_0 \operatorname{Cos} \varphi) \operatorname{tg}^2 \alpha (Y \operatorname{Sin} \varphi - Z) + (H - X_0 \operatorname{Cos} \varphi)^2 \operatorname{tg}^2 \alpha + 2\delta \operatorname{tg} \alpha (Y \operatorname{Sin} \varphi - Z) + \\ + 2\delta(H - X_0 \operatorname{Cos} \varphi) \operatorname{tg} \alpha + \delta^2. \end{aligned}$$

Рассмотрим характер изменения погрешности формы реального профиля готовой детали в поперечном сечении  $X = X_0$  в полярной системе координат (рис. 6).

Каноническое уравнение эллипса поперечного сечения заготовки имеет вид

$$\frac{(Y - Y_0)^2}{A^2} + \frac{Z^2}{B^2} = 1.$$

Центром эллипса является точка  $A_1(0, Y_0)$ ,

где 
$$Y_0 = \frac{\operatorname{Sin} \varphi}{1 - \frac{\operatorname{Sin}^2 \varphi}{\operatorname{Cos}^2 \varphi}} [P(X_0) \operatorname{tg} \alpha - X_0 \operatorname{Cos} \varphi],$$

$$P(X_0) = (H - X_0 \operatorname{Cos} \varphi) \operatorname{tg} \alpha + \delta,$$

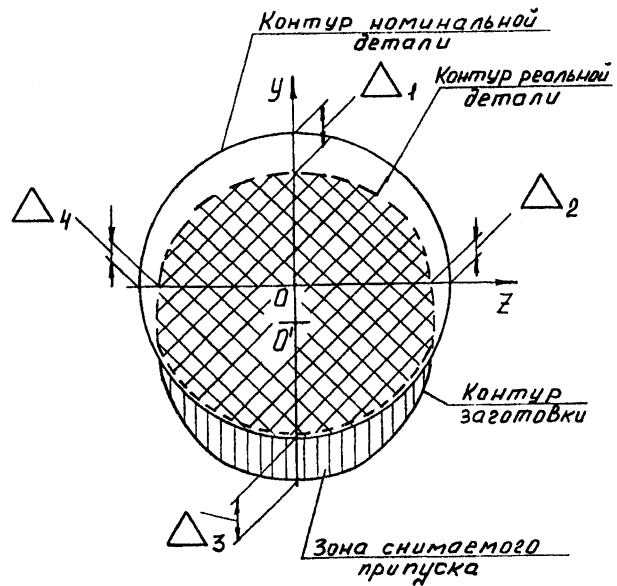
а его большая и меньшая полуоси A и B удовлетворяют соотношениям:

$$A^2 = Y_0^2 + \frac{P^2(X_0)}{1 - \frac{\operatorname{Sin}^2 X}{\operatorname{Cos}^2 X}}; B^2 = A^2 \left(1 - \frac{\operatorname{Sin}^2 \varphi}{\operatorname{Cos}^2 \alpha}\right).$$

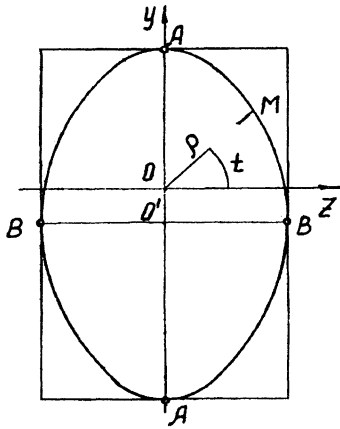
Характер изменения погрешности поперечного сечения готовой детали в координатной плоскости OYZ рассмотрим по двум радиальным направлениям: по оси OY вверх и вниз и по оси OZ влево и вправо.

1. Координата по оси OZ крайней верхней точки детали равна нулю, а ее координата по оси OY

$$A - (Y_0) = A + Y_0.$$



Р и с. 5. Определение радиальных погрешностей поперечного сечения готовой детали



Р и с. 6. Определение погрешности формы готовой детали в поперечном сечении  $X=X_0$  в полярной системе координат

Координата по оси  $OZ$  крайней верхней точки детали равна нулю, а ее координата по оси  $OY$  равна  $R(X_0) = (H - X_0)tg\alpha$ , где  $R(X_0)$  - радиус детали в сечении  $X=X_0$

Если разность  $(A + Y_0) - R(X_0) > 0$ , то погрешность в этом направлении равна нулю, а если указанная разность отрицательная, то погрешность (см. рис. 5), равна:

$$\Delta_1(X_0) = R(X_0) - (A + Y_0).$$

2. Координата по оси  $OY$  крайней правой точки заготовки приближенно равна нулю, а ее координата по оси  $OZ$  равна  $B$ .

Координата по оси  $OY$  крайней верхней точки детали равна нулю, а ее координата по оси  $OZ$  равна:

$$R(X_0) = (H - X_0)tg\alpha.$$

Если погрешность  $B - R(X_0) > 0$ , то погрешность в этом направлении равна нулю, а если указанная разность отрицательная то погрешность равна

$$\Delta_2(X_0) = R(X_0) - B.$$

3. Координата по оси  $OZ$  крайней нижней точки равна нулю, а ее координата по оси  $OY$  равна  $A_+(Y_0) = A - Y_0$ . Координата по оси  $OZ$  крайней нижней точки детали равна нулю, а ее координата по оси  $OY$  равна  $R(X_0) = (H - X_0)tg\alpha$ . Если разность  $(A - Y_0) - R(X_0) > 0$ , то погрешность в этом направлении равна нулю, а если разность отрицательная, то погрешность  $\Delta_3(X_0) = R(X_0) - (A - Y_0)$ .

Рассуждения для направления вдоль оси  $OZ$  влево совпадают с рассуждениями для направления вдоль оси  $OZ$  вправо.

Таким образом, если считать в качестве погрешности формы готовой детали в поперечном сечении  $X=X_0$  наибольшую из радиальных погрешностей в данных четырех направлениях, то

$$(X_0) = \max\{\Delta_1(X_0), \Delta_2(X_0), \Delta_3(X_0)\}.$$

Для более детального исследования погрешности формы готовой детали в данном поперечном сечении  $X=X_0$  рассмотрим в нем полярную систему координат с полярной осью переменного  $\rho \in [0, \infty]$ , совпадающей с положительной полуосью  $OZ$ , и полярным углом  $t \in [0, 2\pi]$ , который откладывается от нее против часовой стрелки (см. рис. 6). В этом случае декартовы координаты точки сечения  $M(Z, Y)$  выражаются через ее полярные координаты  $M(t, \rho)$  с помощью равенств  $Z = \rho \cos t$ ,  $Y = \rho \sin t$ .

Полярное уравнение поперечного сечения  $X=X_0$  детали получается из его декартового уравнения с помощью замены декартовых переменных  $Z$  и  $Y$  их выражениями через полярные переменные  $\rho$  и  $t$  и имеет вид  $(H - X_0)^2 tg^2 \alpha = Z^2 + Y^2 = \rho^2 (\cos^2 t + \sin^2 t) = \rho^2$ . После преобразования получаем  $\rho = \rho(t) = (H - X_0)tg\alpha$ .

Аналогично для полярного уравнения поперечного сечения  $X=X_0$  заготовки имеем

$$\rho^2 C - 2\rho \frac{Y_0 S \sin t}{A^2} + \left( \frac{Y_0^2}{A^2} - 1 \right) = 0.$$

Тогда с учетом соотношения  $\frac{Y_0^2}{A^2} - 1 < 0$  полярное уравнение поперечного сечения заготовки примет вид

$$\rho = \rho(t) = \frac{\frac{Y_0 S \sin t}{A^2} + \sqrt{\frac{Y_0^2 S \sin^2 t}{A^4} - C \left( \frac{Y_0^2}{A^2} - 1 \right)}}{C},$$

где  $C = \frac{\sin^2 t}{A^2} + \frac{\cos^2 t}{B^2}$ .

Для координаты центра эллипса  $O'(0, Y_0)$  имеем

$$Y_0 = \frac{\sin \varphi}{1 - \frac{\sin^2 \varphi}{\cos^2 \alpha}} [P(X_0) \operatorname{tg} \alpha - X_0 \cos \varphi], \text{ где } P(X_0) = (H - X_0 \cos \varphi) \operatorname{tg} \alpha + \delta,$$

а его большая и меньшая полуоси А и В удовлетворяют соотношениям

$$A^2 = Y_0 + \frac{P^2(X_0)}{1 - \frac{\sin^2 \varphi}{\cos^2 \alpha}}; B^2 = A^2 \left( 1 - \frac{\sin^2 \varphi}{\cos^2 \alpha} \right).$$

Таким образом, для расчета погрешности формы готовой детали в поперечном сечении  $X=X_0$  в любом радиальном направлении, которое определяется значением полярного угла  $t \in [0, \pi]$ , необходимо иметь графики полярных уравнений детали (рис. 7)

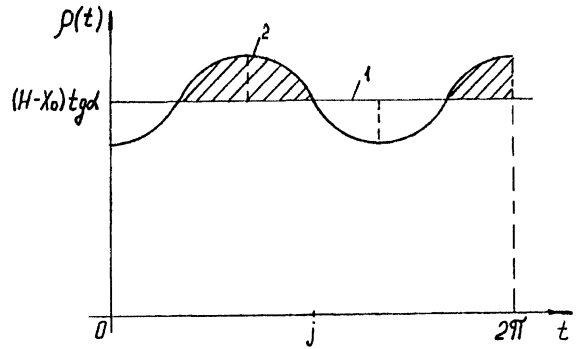
$$\rho = \rho(t) = (H - X_0) \operatorname{tg} \alpha$$

(прямая параллельная оси  $0t$ , пересекающая ось  $0\rho$  в точке  $\rho=(H-X_0)\operatorname{tg}\alpha$ ) и заготовки

$$\rho = \rho(t) = \frac{\frac{Y_0 \sin t}{A^2} + \sqrt{\frac{Y_0^2 \sin^2 t}{A^4} - C \left( \frac{Y_0^2}{A^2} - 1 \right)}}{C}.$$

Тогда погрешность формы готовой детали в поперечном сечении  $X=X_0$  в направлении  $t \in [0, \pi]$  вычисляется по формуле

$$\Delta(t) = \left| (H - X_0) \operatorname{tg} \alpha - \frac{\frac{Y_0 \sin t}{A^2} + \sqrt{\frac{Y_0^2 \sin^2 t}{A^4} - C \left( \frac{Y_0^2}{A^2} - 1 \right)}}{C} \right|.$$



Р и с. 7. Графики полярных уравнений:  
1 – детали; 2 – заготовки

Таким образом, выполненный теоретический анализ позволяет количественно оценить влияние неплоскостности базовых торцовых поверхностей на отклонения формы дорожек качения колец конических подшипников при шлифовании. В результате этого открывается возможность в зависимости от классности подшипников назначать оптимальную точность базовых торцовых поверхностей и достигать ее для каждого конкретного случая шлифования более экономичными методами обработки.

#### БИБЛИОГРАФИЧЕСКИЙ СПИСОК

1. Романов В.Л. Некруглость изделий при бесцентровом шлифовании // Станки и инструменты. 1966. №5. С. 6-12.
2. Альперович Т.А. Теория копирования погрешностей базовой поверхности при внутреннем бесцентровом шлифовании // Станки и инструменты. 1966. №5. С. 3-7.